

2024 年度

電気工学専攻・電子工学専攻

修士課程教育プログラム 学力検査 問題

科目名：専門基礎 a

日時：2023 年 8 月 7 日(月) 9 時 00 分～12 時 00 分

(注意)

1. 問題冊子と解答用紙は係員の指示があるまで開かないこと。
2. 問題は a-1 から a-5 までの 5 問ある。そのうち、4 問を解答せよ。
3. 各問題のページ数は、各問題番号のすぐ後ろに記してある。
4. 解答用紙は 4 枚である。1 問題について 1 枚の解答用紙を用いること。
5. 問題冊子と解答用紙のホチキス留めは外してはならない。もし、外れた場合は、直ちに申し出ること。
6. 「解答はじめ」の指示の後、解答用紙各葉の所定欄に受験番号、氏名、科目名、問題番号をはっきり記入すること。
7. 回路記号については最後のページの新旧対照表を参照すること。

a-1 [この問題は長さ2ページである.]

以下の設問に答えよ. ただし, i は虚数単位 (imaginary unit) $\sqrt{-1}$ を表す. 図1および図2は複素平面 (complex plane) であり, 図中の経路 (contours) に沿った積分 (integrals) は, 各経路に付けた矢印の向きに行う.

- (i) 図1のように, 複素平面における3つの経路 C_1, C_2, C_3 を考える. ここで, C_1 は0と1を結ぶ線分 (segment) および1と $1+i$ を結ぶ線分の合成 (composition) であり, C_2 は0と $1+i$ を結ぶ線分, C_3 は0と i を結ぶ線分および i と $1+i$ を結ぶ線分の合成である. 複素変数 (complex variable) z の複素関数 (complex function) $f(z)$ の C_1, C_2, C_3 に沿った積分

$$\int_{C_k} f(z) dz \quad (k=1, 2, 3)$$

をそれぞれ求めよ. ただし, $f(z)$ は, z を実変数 (real variables) x, y を用いて $z = x + iy$ と表したとき,

$$f(z) = x - y + ix^2$$

と定義される.

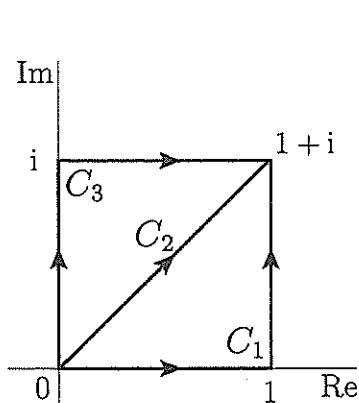


図1

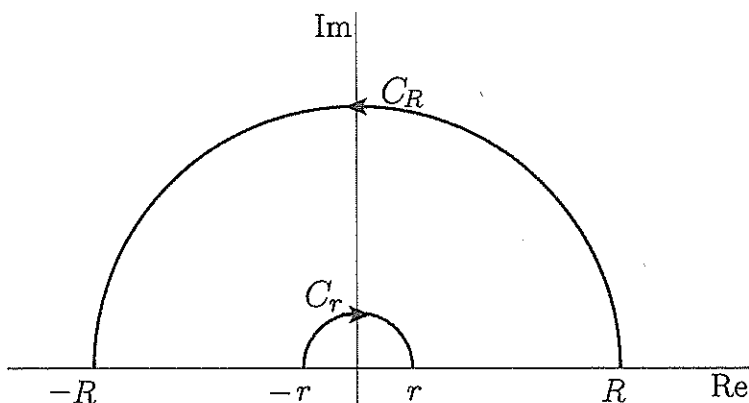


図2

- (ii) 図2のように, 複素平面における2つの経路 C_r, C_R を考える. ここで, 経路 C_r および C_R は以下のように定義される.

$$C_r = \{z \mid z = re^{i\theta}, 0 \leq \theta \leq \pi\}, \quad C_R = \{z \mid z = Re^{i\theta}, 0 \leq \theta \leq \pi\}$$

ただし, r と R は正の実数 (positive real numbers) であり, $r < R$ を満たす. また, 複素関数

$$f(z) = \frac{1 - e^{iz}}{z^2}$$

を考える。以下の問に答えよ。

(a) 経路 C_r に沿った関数 $f(z)$ の積分

$$\int_{C_r} f(z) dz$$

の $r \rightarrow 0$ での極限值 (limit value) を求めよ。

(b) 経路 C_R に沿った関数 $f(z)$ の積分に対して、以下の不等式が成り立つことを示せ。

$$\left| \int_{C_R} f(z) dz \right| \leq \frac{2\pi}{R}$$

(c) 以上の結果を用いて、実変数 x に関する積分

$$\int_0^\infty \frac{1 - \cos x}{x^2} dx$$

を求めよ。

a—2 [この問題は長さ 1 ページである.]

実変数 (real variable) t の 実関数 (real functions) $x(t)$, $y(t)$ に関する 微分方程式 (differential equation)

$$\begin{pmatrix} \frac{dx(t)}{dt} \\ \frac{dy(t)}{dt} \end{pmatrix} = A \begin{pmatrix} x(t) \\ y(t) \end{pmatrix}, \quad A = \begin{pmatrix} 4 & -5 \\ 5 & -4 \end{pmatrix} \quad (1)$$

について、以下の設問に答えよ。

- (i) 行列 A の 固有値 (eigenvalues) を a , b とし、それぞれに対応する 固有ベクトル (eigenvectors) を

$$\begin{pmatrix} u \\ 1 \end{pmatrix}, \begin{pmatrix} v \\ 1 \end{pmatrix}$$

とする。 a , b , u , v を求めよ。

- (ii) 正則行列 (nonsingular matrix) P について、 $D = P^{-1}AP$ が 対角行列 (diagonal matrix) であるとする。そのような P および D の組を 1 つ求めよ。

- (iii) 設問 (ii) で求めた P を用いて 変数変換 (variable transformation)

$$\begin{pmatrix} x(t) \\ y(t) \end{pmatrix} = P \begin{pmatrix} p(t) \\ q(t) \end{pmatrix} \quad (2)$$

を行い、関数 $p(t)$, $q(t)$ に関する微分方程式を示せ。

- (iv) 微分方程式 (1) について、初期条件 (initial condition) $\begin{pmatrix} x(0) \\ y(0) \end{pmatrix} = \begin{pmatrix} 3 \\ 0 \end{pmatrix}$ を満たす解

$\begin{pmatrix} x(t) \\ y(t) \end{pmatrix}$ を求め、虚数単位 (imaginary unit) を用いずに表せ。

- (v) 微分方程式 (1) の解 $\begin{pmatrix} x(t) \\ y(t) \end{pmatrix}$ は、

$$x(t)^2 + \alpha x(t)y(t) + y(t)^2 = \beta \quad (3)$$

を満たす。ただし、 α , β は t に依存しない実数である。設問 (iv) の初期条件のもとで、 α , β を求めよ。

a—3 [この問題は長さ2ページである.]

真空 (vacuum) の誘電率 (permittivity) を ϵ_0 として、以下の設問に答えよ。

- (i) 図1のように、点電荷 (point charge) q が真空中の点 $A(0, a, 0)$ に、接地された無限平面導体 (grounded infinite plane conductor) が $y = 0$ の面に置かれている。ここで、 $a > 0$ である。

- (a) $y = 0$ の面において、電位 (electric potential) V が満たすべき境界条件を答えよ。
 (b) 映像法 (image method) を用いて、 $y > 0$ の領域における電位 $V(x, y, z)$ を求めよ。
 (c) $y > 0$ における電位 V を映像法によって求めることができる理由を述べよ。

- (ii) 図2のように、点 $A(0, a, 0)$ に点電荷 q が置かれており、 $y > 0$ の領域は真空、 $y \leq 0$ の領域は誘電率 ϵ の誘電体 (dielectric) で満たされている。ここで、 $a > 0$ である。

- (a) $y = 0$ の面において、電位 V と電界 (electric field) E の y 成分が満たすべき境界条件を答えよ。
 (b) いま仮に、全領域を真空とし、点 A に置かれた点電荷 q に加えて点電荷 q^* を点 $(0, -a, 0)$ においたとする。このときの電位 $V_0(x, y, z)$ を求めよ。
 (c) いま仮に、全領域を誘電率 ϵ の誘電体で満たし、点電荷 q の代わりに点電荷 q^{**} を点 A においたとする。このときの電位 $V_1(x, y, z)$ を求めよ。
 (d) 問(a)から(c)の結果を用いて、図2の場合における点電荷 q に作用する力を求め、 $\epsilon_0, \epsilon, q, a$ を用いて表せ。

- (iii) 以下の文章において **X** と **Y** を埋めて式を完成させよ。

図3のように、点 $A(0, a, 0)$ と $B(0, -b, 0)$ に点電荷 q と q' が置かれている。ここで、 $a > 0$ 、 $b > 0$ であり、 $y > 0$ の領域は真空で、 $y \leq 0$ の領域は誘電率 ϵ の誘電体で満たされている。重ね合わせの原理と設問(ii)の結果を利用して、点電荷 q に作用する力を求めよう。そのためには、設問(ii)問(d)の力に加えて、新たにおいた点電荷 q' による力を求めればよい。 q' による $y > 0$ の領域における電界は、設問(ii)の結果をもとにすると、全領域を真空として、仮想的な点電荷 q^{**} を点 B においたときの電界と一致する。ここで、

$$q^{**} = \text{X}$$

である。よって、点電荷 q に作用する力 F は、

$$F = \text{Y}$$

である.

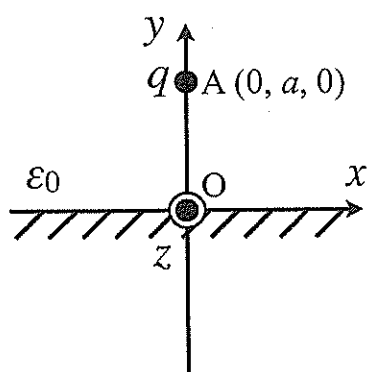


図1

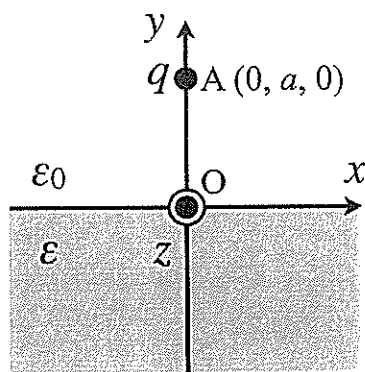


図2

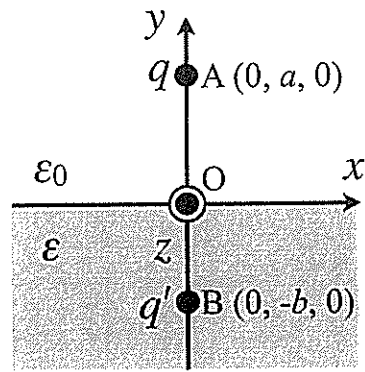


図3

a-4 [この問題は長さ1ページである.]

以下の設問に答えよ.

- (i) 図1のような直流電圧源 (DC voltage source) E を含む回路において, スイッチ (switch) S が閉じられて定常状態 (steady state) にある. 時刻 $t = 0$ にスイッチ S を開けたとき, 以下の問に答えよ.
- (a) 時刻 $t = 0$ におけるキャパシタ (capacitor) の電圧 $v(0)$, インダクタ (inductor) の電流 $i(0)$ を求めよ.
- (b) 電圧 $v(t)$ を求め, その波形 (waveform) を図示せよ.
- (ii) 図2のような直流電圧源 E と, 特性インピーダンス (characteristic impedance) Z_0 , 伝搬速度 (propagation velocity) g , 長さ l の無損失分布定数線路 (lossless transmission line) を含む回路において, スイッチ S が閉じられて定常状態にある. 時刻 $t = 0$ にスイッチ S を開けたとき, 以下の問に答えよ.
- (a) スイッチ S を開ける直前を $t = -0$, 直後を $t = +0$ とする. ポート (port) 1-1' の電圧 $v_1(-0)$, $v_1(+0)$, ポート 2-2' の電圧 $v_2(-0)$, $v_2(+0)$, インダクタの電流 $i(-0)$, $i(+0)$ を求めよ.
- (b) 時間 $0 < t < 3l/g$ における電圧 $v_1(t)$, $v_2(t)$ を求め, その波形を図示せよ.

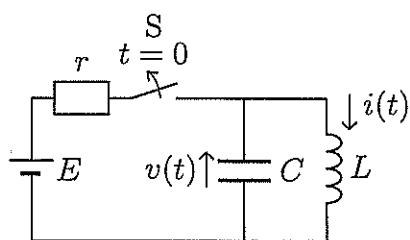


図1

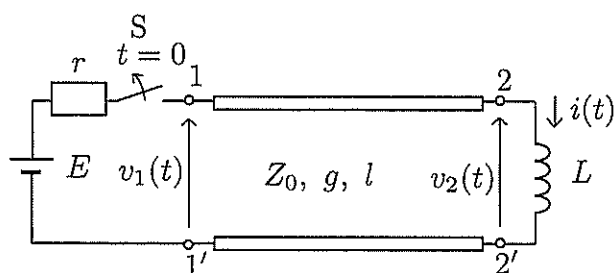


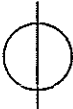

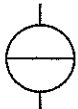
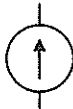




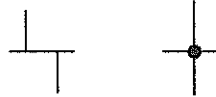



図2

a—**5** [この問題は長さ1ページである.]

基本並進ベクトル (primitive translation vector) が $\mathbf{R}_1=(a, 0)$, $\mathbf{R}_2=(0, 3a)$ である 2 次元長方格子 (rectangular lattice) に関する以下の設問に答えよ. ただし a は正の実数とする.

- (i) この 2 次元長方格子を図示せよ.
- (ii) この 2 次元長方格子の基本逆格子ベクトル (primitive reciprocal lattice vector) \mathbf{G}_1 , \mathbf{G}_2 を決定せよ.
- (iii) この 2 次元長方格子の逆格子空間における第 1 および第 2 ブリルアンゾーン (Brillouin zone) を図示せよ.
- (iv) 第 2 ブリルアンゾーン内の任意の一点を図示し, その点が還元ゾーン (reduced zone) 形式では第 1 ブリルアンゾーンのどの点に対応するかを, 理由と共に示せ.

電気電子回路の記述に使用する図記号に関しては、下記の表に左右に示す記号は同等のものとみなす。

	新図記号 (New symbols)	旧図記号 (Older symbols)
理想電圧源 (Ideal voltage source)		
理想電流源 (Ideal current source)		
抵抗器 (Resistor)		
T接続 (T-connection)		
導体の二重接続 (Double junction of conductors)		
接続しない2系統の交差 (Crossing of two systems without connection)		

2024 年度

電気工学専攻・電子工学専攻

修士課程教育プログラム 学力検査 問題

科目名：専門基礎 b

日時：2023 年 8 月 7 日(月) 13 時 30 分～16 時 00 分

(注意)

1. 問題冊子と解答用紙は係員の指示があるまで開かないこと。
2. 問題は b-1 から b-4 までの 4 問ある。そのうち、3 問を解答せよ。
3. 各問題のページ数は、各問題番号のすぐ後ろに記してある。
4. 解答用紙は 3 枚である。1 問題について 1 枚の解答用紙を用いること。
5. 問題冊子と解答用紙のホチキス留めは外してはならない。もし、外れた場合は、直ちに申し出ること。
6. 「解答はじめ」の指示の後、解答用紙各葉の所定欄に受験番号、氏名、科目名、問題番号をはっきり記入すること。
7. 回路記号については最後のページの新旧対照表を参照すること。

b—**1** [この問題は長さ 2 ページである.]

この問題では、真空 (vacuum) 中における電磁波 (electromagnetic wave) の伝搬を考える。このときの Maxwell の方程式は以下のとおりである。

$$\nabla \times \mathbf{E} = -\frac{\partial \mathbf{B}}{\partial t} \quad (1)$$

$$\nabla \times \mathbf{H} = \frac{\partial \mathbf{D}}{\partial t} \quad (2)$$

$$\nabla \cdot \mathbf{D} = 0 \quad (3)$$

$$\nabla \cdot \mathbf{B} = 0 \quad (4)$$

なお、 \mathbf{E} , \mathbf{H} , \mathbf{D} , \mathbf{B} は、それぞれ、電界 (electric field), 磁界 (magnetic field), 電束密度 (electric flux density), 磁束密度 (magnetic flux density) である。また、真空の誘電率 (permittivity) および透磁率 (permeability) をそれぞれ ϵ_0 , μ_0 , 位置ベクトル (position vector) を \mathbf{r} , 角周波数 (angular frequency) を ω , 時刻を t , 虚数単位 (imaginary unit) を j とする。以下の設問に答えよ。

(i) Maxwell 方程式を用いて電界に関する波動方程式 (wave equation) を求めよ。必要に応じてベクトル公式 $\nabla \times (\nabla \times \mathbf{A}) = \nabla(\nabla \cdot \mathbf{A}) - (\nabla \cdot \nabla)\mathbf{A}$ を用いてもよい。

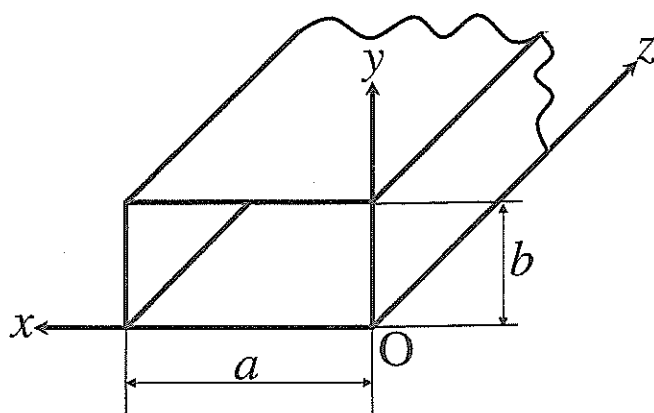
(ii) 電界を $\mathbf{E}(\mathbf{r}, t) = \mathbf{E}_0(\mathbf{r}) \exp(j\omega t)$ とおく。設問 (i) で求めた波動方程式から $\mathbf{E}_0(\mathbf{r})$ に関する次の式が得られる。 X を埋めよ。

$$\nabla^2 \mathbf{E}_0(\mathbf{r}) + \text{X} \mathbf{E}_0(\mathbf{r}) = 0 \quad (5)$$

(iii) 設問 (ii) の場合において、 z 軸の正の方向に伝搬する平面波を考える。この平面波は x 方向にのみ電界成分 $\mathbf{E}_0(\mathbf{r}) = (E_{0x}(z), 0, 0)$ を持つとする。波数ベクトル (wavenumber vector) を $\mathbf{k} = (0, 0, k_z)$ としたとき、 $E_{0x}(z)$ を求めよ。

(iv) 設問 (iii) の場合、 $\left| \frac{E_{0x}(z)}{H_{0y}(z)} \right|$ で与えられる特性インピーダンス (characteristic impedance) を求めよ。ここで、 $H_{0y}(z)$ は、設問 (iii) と同様に定めた磁界の y 成分である。

(v) 次に、別の条件下での電磁波の伝搬を考える。いま、図のように $0 < x < a$ かつ $0 < y < b$ を満たす領域が真空であり、それ以外の領域が完全導体 (perfect conductor) で満たされている状況を考える。この真空の領域を導波管 (waveguide) と呼ぶ。この導波管の中を、角周波数 ω の電磁波が z 軸の正の方向に伝搬しているとする。ただし、単一の姿態 (mode) での伝搬を想定する。この導波管の中のある位置において磁界の y 成分と z 成分が非零、すなわち $|H_{0y}| \neq 0$ と $|H_{0z}| \neq 0$ を満たすとき、その位置における $\left| \frac{E_{0x}}{H_{0y}} \right|$ は設問 (iv) で求めた特性インピーダンスより大きくなる。この理由を定性的に述べよ。



b—**2** [この問題は長さ 2 ページである.]

電圧増幅器 (amplifier) について以下の設問に答えよ. すべての増幅器の入力インピーダンス (input impedance) は無限大とする. 数値については有効数字 2 桁で答えよ.

- (i) 増幅率 (gain) A と出力インピーダンス (output impedance) R_o を持つ増幅器で構成した図 1 の回路は図 2 の等価回路 (equivalent circuit) で表せる. 以下の問に答えよ.
- (a) この回路の周波数応答 (frequency response) $H(\omega) = \tilde{V}_o / \tilde{V}_i$ を求めよ.
- (b) $A = -10^4$, $R_o = 10 \text{ k}\Omega$, $C_L = 10 \text{ pF}$ のとき, $|H(\omega_0)| = 1$ となる ω_0 を求めよ.
- (c) 問 (b) の条件において $H(\omega)$ のボード線図 (Bode diagram) を描け.
- (ii) 図 3 のように, 増幅率 A と出力インピーダンス R_o を持つ増幅器の入出力間に容量 C_C を挿入する場合を考える. C_C はミラー容量 (Miller capacitance) とよばれる. 以下の問に答えよ.
- (a) 入力インピーダンス $Z_{in} = (\tilde{V}_i / \tilde{I}_i)_{\tilde{I}_o=0}$ を求めよ.
- (b) 出力インピーダンス $Z_{out} = (\tilde{V}_o / \tilde{I}_o)_{\tilde{V}_i=0}$ を求めよ.
- (c) $A < 0$ としたとき, $\omega R_o(C_C + C_L) \ll 1$ の周波数領域において, 図 3 の回路は図 4 の等価回路で近似できることを示せ.
- (iii) 図 5 と図 6 の 2 段増幅器から成るオペアンプ (operational amplifier) を設計する. 増幅率 A_1 と A_2 の増幅器の出力インピーダンスはそれぞれ $10 \text{ k}\Omega$ と 10Ω である. これらのオペアンプの周波数応答 $H(\omega)$ は次のように表せる.

$$H(\omega) = \frac{A_1 A_2}{\left(1 + j \frac{\omega}{\omega_{p1}}\right) \left(1 + j \frac{\omega}{\omega_{p2}}\right)} \quad (1)$$

ここで, j は虚数単位であり, $\omega_{p1} < \omega_{p2}$ とする. これらのオペアンプを用いてボルテージフォロワ (voltage follower) を構成したとき, 安定動作の条件は $|H(\omega_{p2})| \leq 1$ である. $C_L = 10 \text{ pF}$, $A_1 = -10^3$, $A_2 = -10$ の条件のもとで以下の問に答えよ. ただし, $C_1 > 0.1 \text{ pF}$, $C_C > 0.1 \text{ pF}$ とする.

- (a) 図 5 のオペアンプにおいて, ω_{p2} を求めよ. 次に, $|H(\omega_{p2})| = 1$ を満たす C_1 を求めよ.
- (b) 図 6 のオペアンプにおいて, ω_{p2} を求めよ. 次に, $|H(\omega_{p2})| = 1$ を満たす C_C を求めよ. なお, 2 段目の増幅器について図 4 の等価回路を用いよ.
- (c) 図 5 と図 6 のオペアンプを用いたボルテージフォロワを集積回路 (integrated circuit) にしたとき, どちらのボルテージフォロワがより小さい面積で実装できるか理由をつけて述べよ.

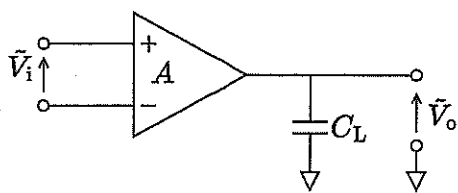


图 1

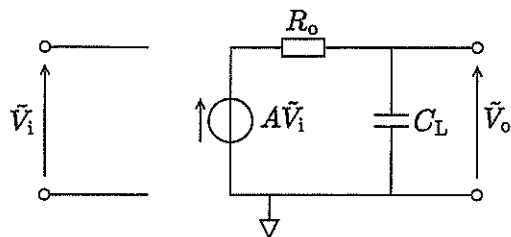


图 2

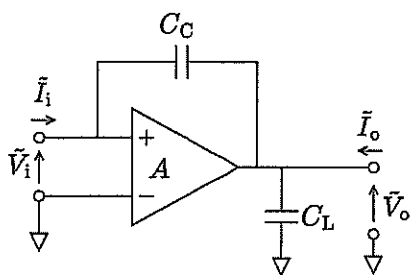


图 3

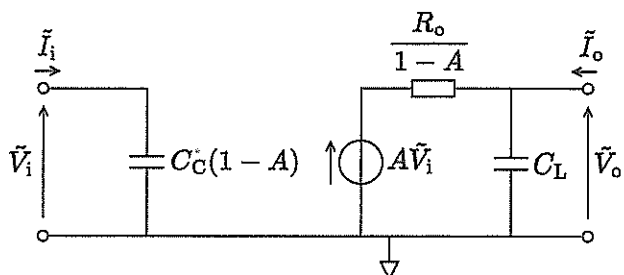


图 4

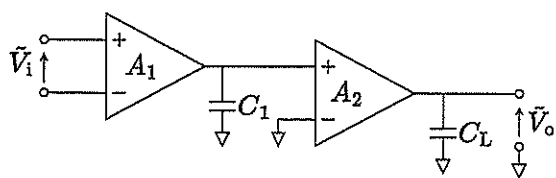


图 5

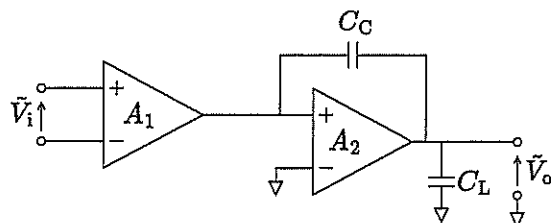


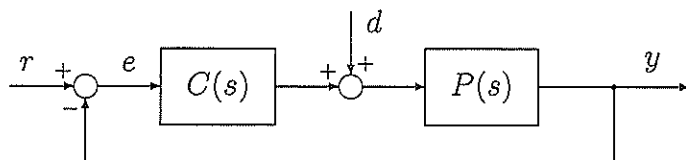
图 6

b—**3** [この問題は長さ 1 ページである.]

下図のフィードバック制御系 (feedback control system) において, 制御対象 (controlled object) および制御装置 (controller) の伝達関数 (transfer function) はそれぞれ

$$P(s) = \frac{2}{s^2 + 3s + 4}, \quad C(s) = K \frac{s + 4}{s}$$

で与えられている. ただし, r は目標値 (reference), e は偏差 (error), d は外乱 (disturbance), y は制御量 (controlled variable) を表しており, K は正のゲイン (gain) とする. 以下の設問に答えよ.



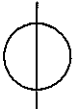

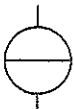
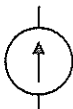
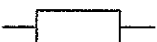



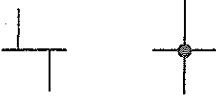

- (i) r から y , および d から e への閉ループ (closed-loop) 伝達関数をいずれも $P(s)$, $C(s)$ で表せ.
- (ii) 制御対象 $P(s)$ について, その入力を $u(t) = \sin \omega t$ としたときの定常状態 (steady state) での出力が $c \sin \left(\omega t - \frac{k\pi}{4} \right)$ となるような (ω, c, k) の組をすべて求めよ. ただし, $c > 0$ とし, $k = 0, 1, \dots, 7$ のいずれかとなる場合のみを考えるものとする. さらに, 正の角周波数 (angular frequency) ω のみを考えるものとする.
- (iii) $C(s)$ のボード線図 (Bode diagram) の概形を描け. 角周波数が小さいときと大きいときの特徴を示す漸近線 (asymptote) に加えて, $C(s)$ の位相遅れ (phase lag) が 45° となるときの角周波数の値についても明記すること.
- (iv) 開ループ (open-loop) 伝達関数 $P(s)C(s)$ のベクトル軌跡 (vector locus) と実軸 (real axis) の負の部分との交点 (intersection) を求めよ. なお, $P(s)C(s)$ は位相遅れが 180° となる角周波数 $\omega (> 0)$ をひとつだけもつ. このことを利用してもよい.
- (v) フィードバック制御系の目標値に対する単位ステップ応答 (unit step response) $y(t) = s_K(t)$ について考える. $s_K(t)$ は K を大きくしても $K < K^*$ である限り十分な時間の経過後には一定値 $S(K)$ に収束するが, $K = K^*$ では十分な時間の経過後も持続的振動 (persistent oscillation) $\sigma(t)$ とオフセット (offset) の重ね合わせ (superposition) となる.
 - (a) K^* の値を求め, $0 < K < K^*$ の範囲で $S(K)$ のグラフを描け. また, そのグラフの形状の由来を, このフィードバック制御系の特色と結び付けて説明せよ.
 - (b) $s_{K^*}(t) - \sigma(t)$ を求めよ.

b—**4** [この問題は長さ 1 ページである.]

半導体に関する以下の設問に答えよ。ただし、半導体は非縮退 (nondegenerate) であるとし、伝導帯 (conduction band) の有効状態密度 (effective density of states) を N_c 、価電子帯 (valence band) の有効状態密度を N_v 、伝導帯底のエネルギーを E_c 、価電子帯頂上のエネルギーを E_v 、禁制帯幅 (bandgap) を E_g とする。また、ボルツマン定数 (Boltzmann constant) を k_B 、絶対温度を $T(>0)$ 、素電荷 (elementary charge) を e とする。

- (i) 熱平衡状態 (thermal equilibrium) において電子密度 (electron density) n 、正孔密度 (hole density) p 、真性キャリア密度 (intrinsic carrier density) n_i の間に成立する関係式を記せ。次に、真性キャリア密度 n_i を N_c 、 N_v 、 E_g などを用いて表せ。
- (ii) ドナー密度 (donor density) N_d の n 型半導体におけるフェルミ準位 (Fermi level) E_{fn} 、アクセプタ密度 (acceptor density) N_a の p 型半導体におけるフェルミ準位 E_{fp} をそれぞれ求めよ。ただし、ドナーおよびアクセプタは完全にイオン化していると考えてよい。
- (iii) 設問 (ii) で考えた p 型、n 型半導体で構成される pn 接合 (pn junction) について、無バイアス (zero bias) 時のエネルギーバンド図 (energy-band diagram) を描け。フェルミ準位を明示すること。次に、このエネルギーバンド図を参考にして、pn 接合の拡散電位 (built-in voltage) V_d を表す式を求めよ。
- (iv) 理想的な pn 接合ダイオード (diode) に流れる電流 I と電圧 V の関係式を記せ。ただし、飽和電流 (saturation current) を I_0 とする。
- (v) 理想的な pn 接合ダイオードに禁制帯幅以上のエネルギーを有する光を照射した。光照射時および暗時の電流-電圧 ($I-V$) 特性を描け。ただし、光照射により生じる光電流 (photocurrent) の絶対値を I_{ph} とする。
- (vi) 設問 (iv) で考えた理想的な pn 接合ダイオードについて、順方向 (forward) 電流 I を流すのに必要な電圧 V を表す式を導出せよ。次に、この順方向バイアス時の微分抵抗 (differential resistance) R_{diff} の電流依存性を表す式を導出し、図示せよ。
- (vii) 設問 (vi) では理想的な pn 接合ダイオードを考えたが、現実のダイオードでは必ず直列抵抗 (series resistance) が存在する。この直列抵抗を R_s とするとき、これが順方向電流 I を流すのに必要な電圧 V に及ぼす影響について説明せよ。次に、 R_s が微分抵抗 R_{diff} に及ぼす影響について説明せよ。共に数式および図の両方を用いて説明すること。

電気電子回路の記述に使用する図記号に関しては、下記の表に左右に示す記号は同等のものとみなす。

	新図記号 (New symbols)	旧図記号 (Older symbols)
理想電圧源 (Ideal voltage source)		
理想電流源 (Ideal current source)		
抵抗器 (Resistor)		
T接続 (T-connection)		
導体の二重接続 (Double junction of conductors)		
接続しない2系統の交差 (Crossing of two systems without connection)	